

Fig. 3-1 Localización de la Brecha Sísmica de Nicoya, ubicación de epicentros de antiguos sismos y desplazamientos de la placa Cocos (Ref. 15)

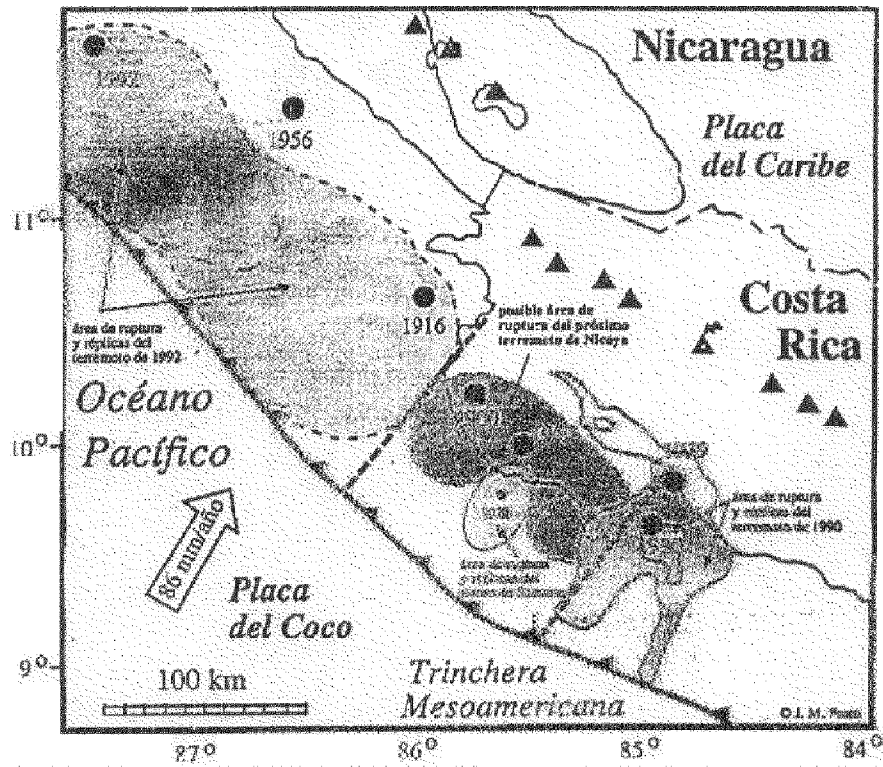
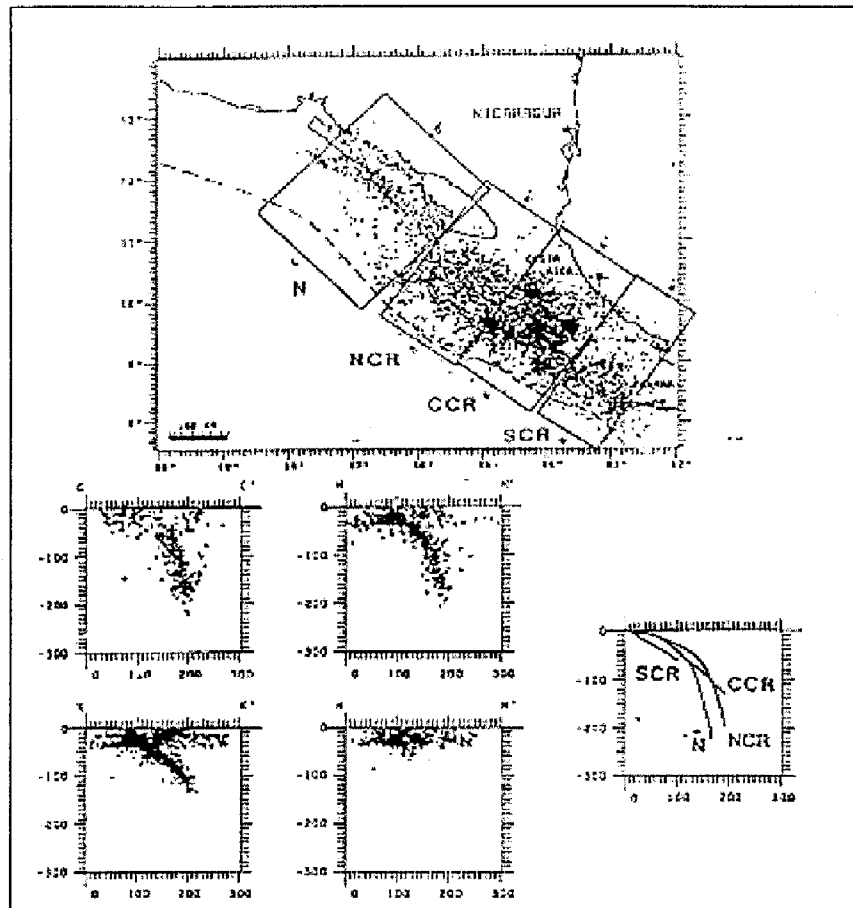


Fig. 3-2 Superficie de ruptura de la Brecha Sísmica de Nicoya (Ref. 12)
El área más oscura representa el área potencial de falla, y la
línea con triángulos la trinchera de subducción.



**Fig. 3-3: Distribución de la profundidad de los segmentos definidos por Protti (adaptado de la Ref. 15).
- Todas las distancias en kilómetros -**

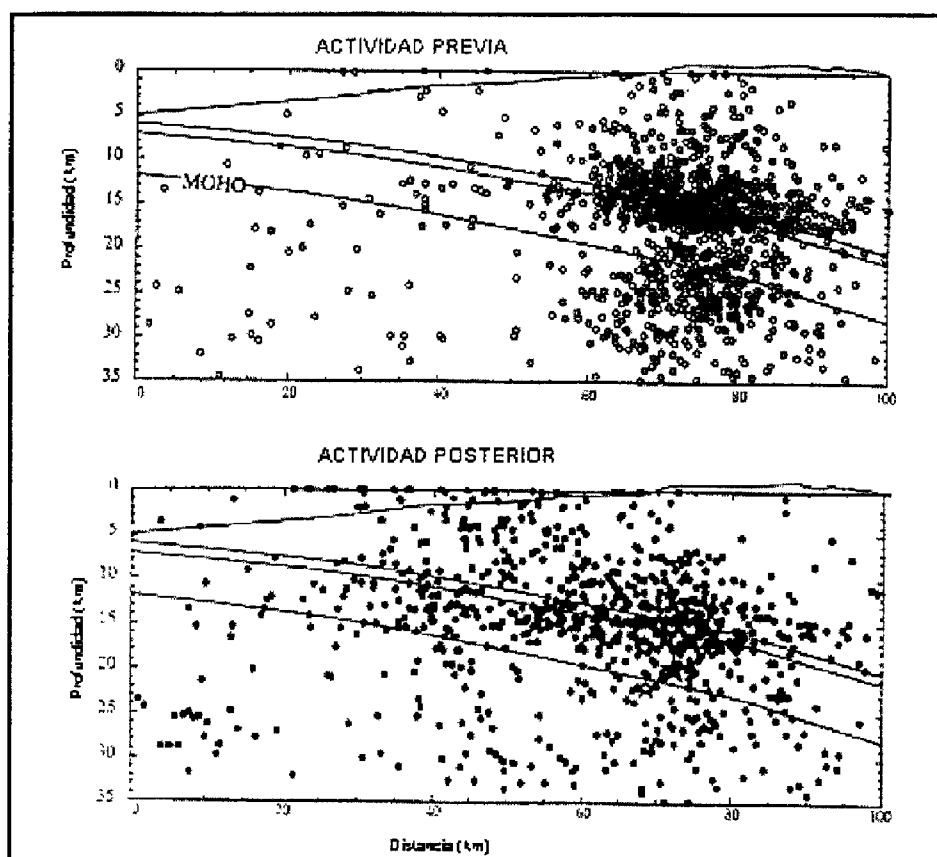


Fig. 3-4: Secciones transversales de la sismicidad previa y posterior al terremoto de marzo de 1990 (adaptado de la Ref. 21).

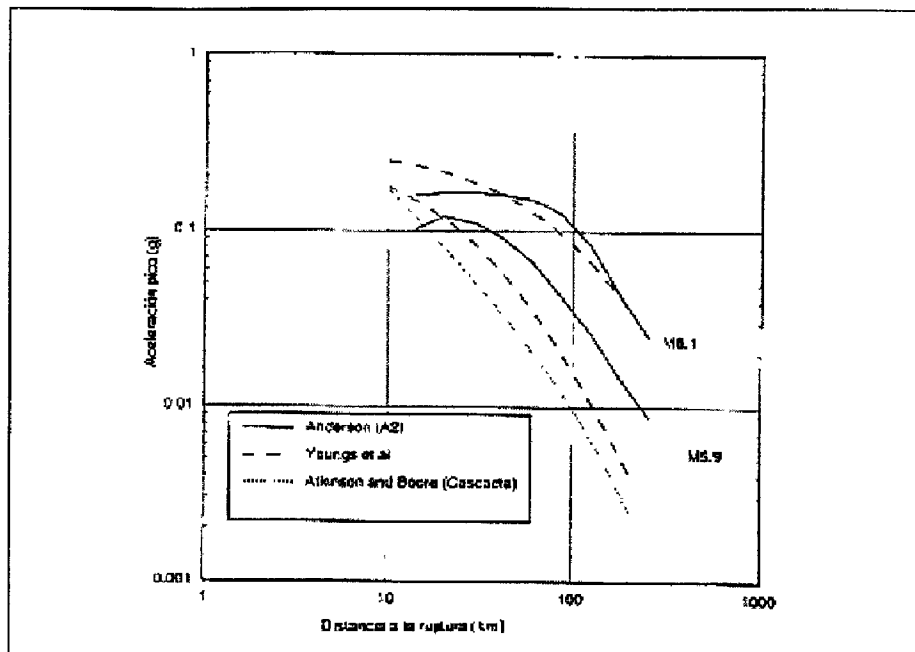


Fig.3-5: Comparación entre los distintos modelos de atenuación (Ref. 1)

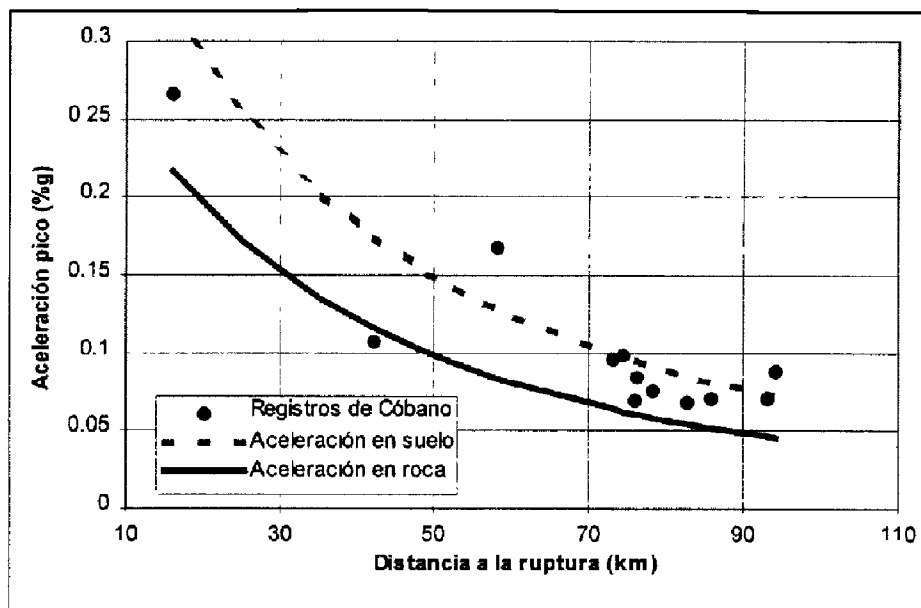


Fig. 3-6: Comparación de las relaciones de atenuación de Youngs et al con los registros de aceleraciones del sismo de Cóbano (1990).

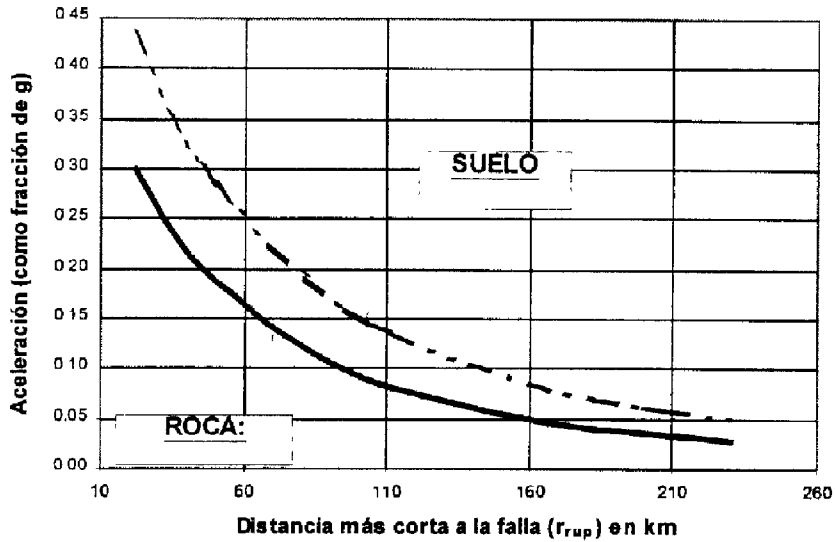


Fig. 3-7 Atenuación de la aceleración pico para suelos y roca

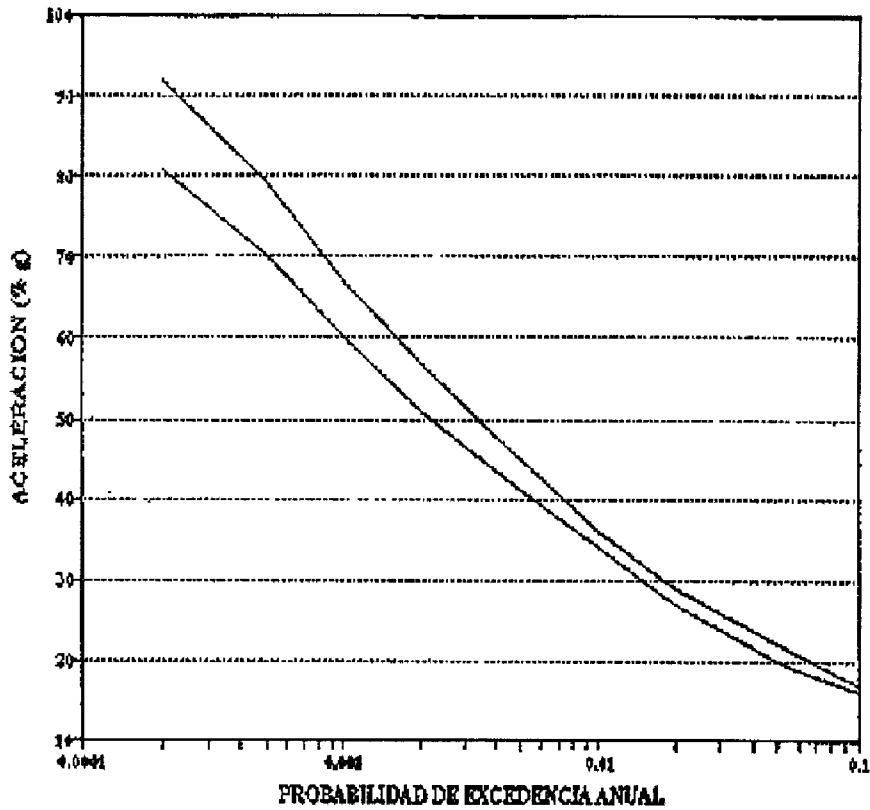


Fig. 3-8: Aceleración pico en la zona del puente sobre el R. Tempisque. (Ref. 8)

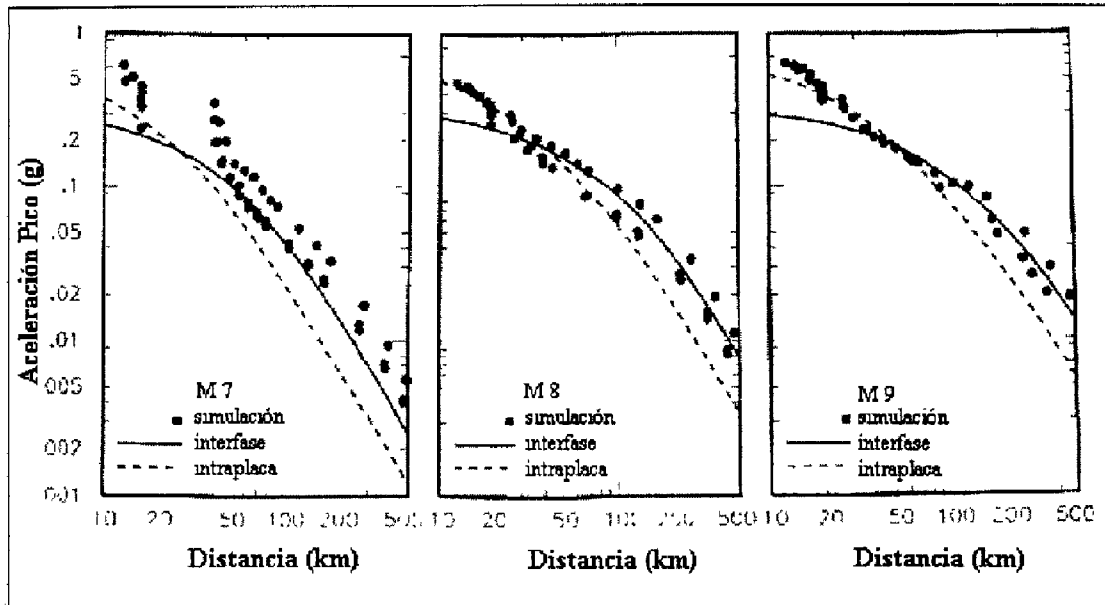
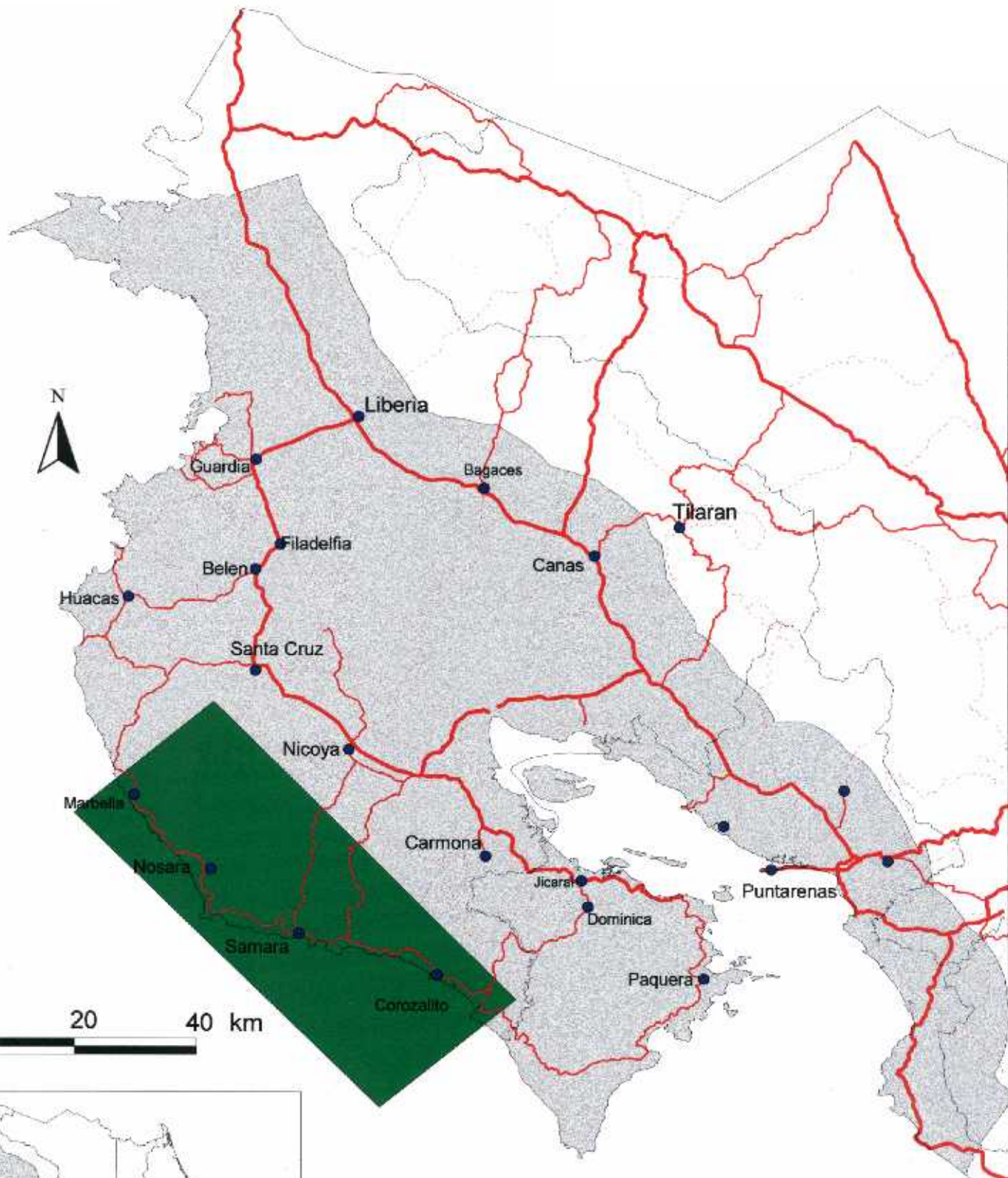


Fig. 3-9: Comparación entre las predicciones de Youngs et al y registros de sismos históricos (Ref. 28)



Mapa #3.1: Posible área de ruptura del terremoto de Nicoya

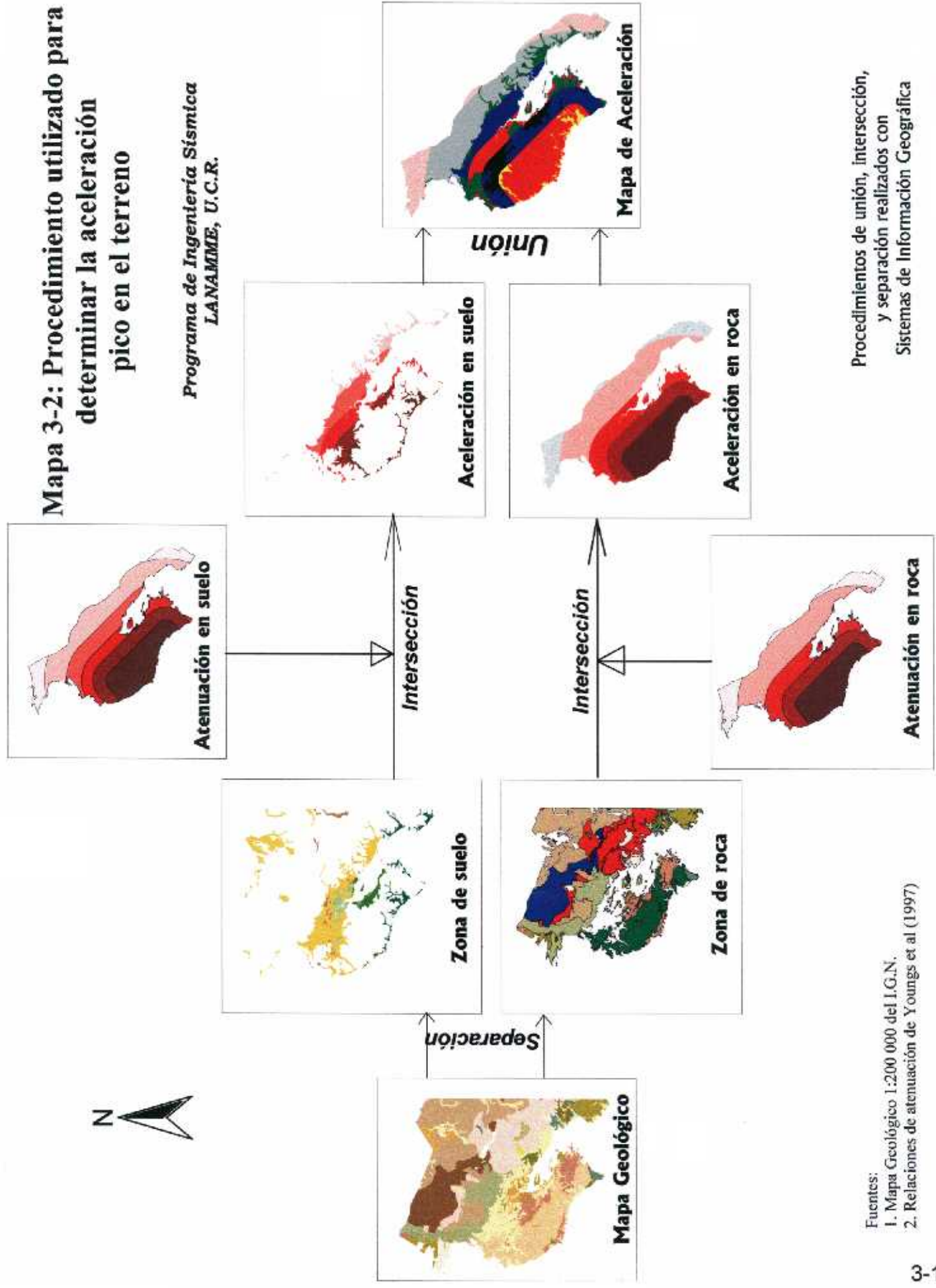
- Ciudades
- Rutas Nacionales
- ▬ Primaria
- ▬ Secundaria
- ▬ Terciaria
- Área de ruptura
- Zona de Estudio



*Programa de Ingeniería Sísmica
LANAMME, U.C.R. Enero, 1998*

Mapa 3-2: Procedimiento utilizado para determinar la aceleración pico en el terreno

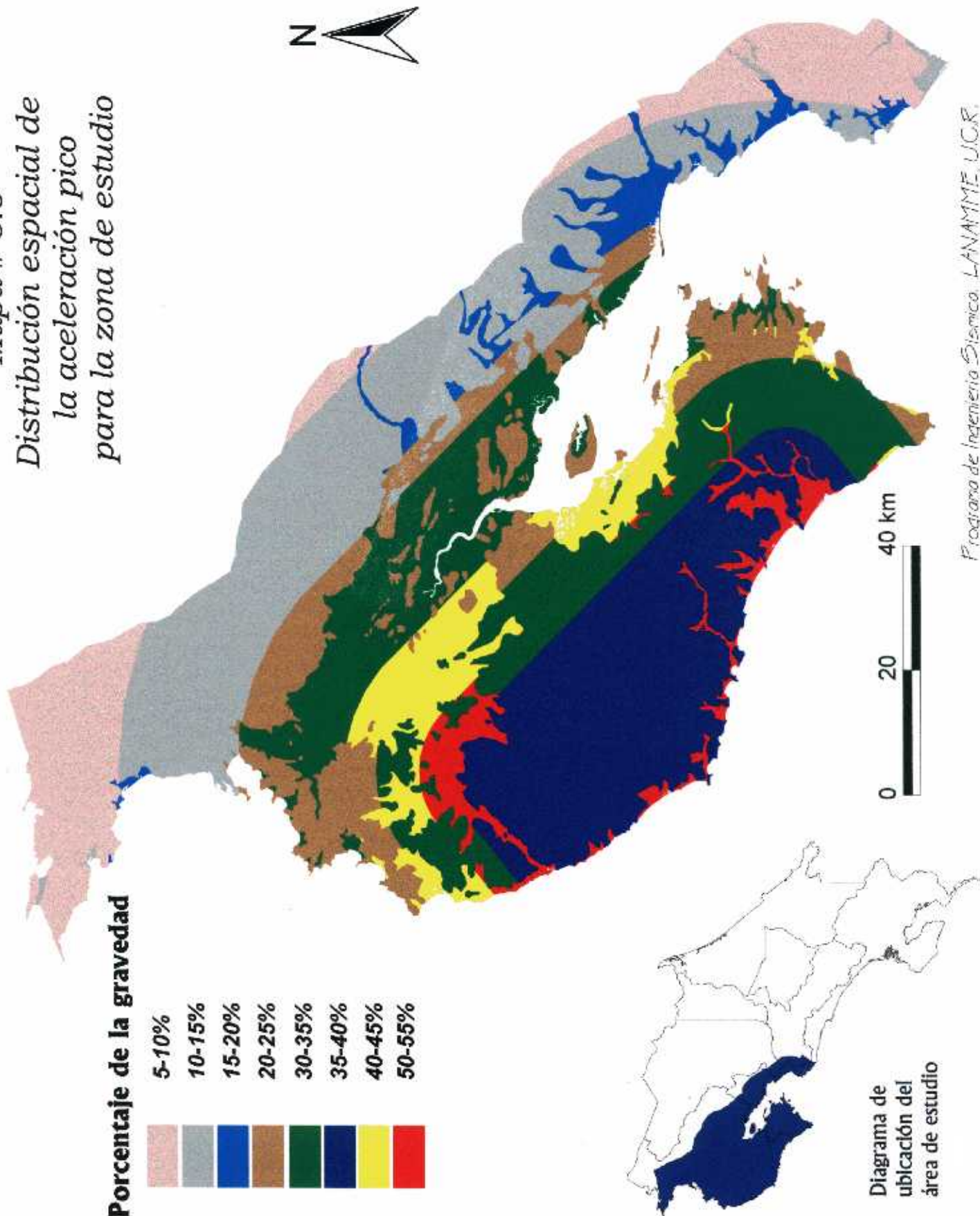
Programa de Ingeniería Sísmica
LANAMME, U.C.R.



Fuentes:
1. Mapa Geológico 1:200 000 del I.G.N.
2. Relaciones de atenuación de Youngs et al (1997)

Procedimientos de unión, intersección,
y separación realizados con
Sistemas de Información Geográfica

Mapa # 3.3
Distribución espacial de
la aceleración pico
para la zona de estudio



Considera corrección por factor α a los 50 km

Programa de Ingeniería Sísmica, LANAMME, UCR.